

# IIR Filter design

- 1
- 2 Analog Filters
- 3 Projektowanie filtrów cyfrowych Butterwortha i Czebyszewa
- 4 Projekt filtru dolnoprzepustowego
- 5 Reakcja filtru Butterworth na częstotliwości odcięcia
- 6 Analiza filtrów Butterwortha w Mathematica
- 7 Analiza względem wszystkich parametrów
- 8 Zależność błędu od rzędu filtra
- 9 Nyquist Ploty analogowych
- 10 Bode plots
- 11 Inna ilość bitów
- 12 Analiza współczynników filtrów
- 13 Filtry cyfrowe
- 14 Badanie stabilności filtrów cyfrowych

## 14.1 Ustalenie postaci filtrów cyfrowych

Poniżej znajdują się definicje filtrów analogowych i ich cyfrowych odpowiedników w postaci tabel dla rzędu  $N=\{1,2,\dots,7\}$  oraz częstości  $\omega=\{\omega_{\min}, \omega_{\max}, \Delta\omega\}$

### 14.1.1 Definicje

```
In[290]:=  $\Delta\omega = 0.3;$   
 $\omega_{\min} = 0.1;$   
 $\omega_{\max} = 2.0;$ 
```

## 14.1.2 Butterworth

```
In[293]:= bmodels = Table[TransferFunctionFactor@ButterworthFilterModel[{"Lowpass", n, ω}, s],
           {n, 1, 7, 1}, {ω, ωmin, ωmax, Δω}];
DGbmodels =
  Table[TransferFunctionFactor@
        ToDiscreteTimeModel[ButterworthFilterModel[{"Lowpass", n, ω}, s], 1], {n, 1, 7, 1},
        {ω, ωmin, ωmax, Δω}];
```

## 14.1.3 Chebyshev 1

```
In[295]:= c1models = Table[TransferFunctionFactor@Chebyshev1FilterModel[{"Lowpass", n, ω}, s],
           {n, 1, 7, 1}, {ω, ωmin, ωmax, Δω}];
DGc1models =
  Table[TransferFunctionFactor@ToDiscreteTimeModel[Chebyshev1FilterModel[{"Lowpass", n, ω}, s],
        1], {n, 1, 7, 1}, {ω, ωmin, ωmax, Δω}];
```

## 14.1.4 Chebyshev 2

```
In[297]:= c2models = Table[TransferFunctionFactor@Chebyshev2FilterModel[{n, ω}, s], {n, 1, 7, 1},
           {ω, ωmin, ωmax, Δω}];
DGc2models =
  Table[TransferFunctionFactor@ToDiscreteTimeModel[Chebyshev2FilterModel[{n, ω}, s], 1],
        {n, 1, 7, 1}, {ω, ωmin, ωmax, Δω}];
```

## 14.1.5 Elliptic

```
In[299]:= emodels = Table[TransferFunctionFactor@EllipticFilterModel[{n, ω}, s], {n, 1, 7, 1},
           {ω, ωmin, ωmax, Δω}];
DGeamodels = Table[TransferFunctionFactor@ToDiscreteTimeModel[EllipticFilterModel[{n, ω}, s], 1],
           {n, 1, 7, 1}, {ω, ωmin, ωmax, Δω}];
```

## 14.2 Dyskretyzacja na poziomie zer i biegunów

## 14.2.1 Wstęp

Na początek przedstawiam sposób w jaki dyskretyzowałem dotychczas, tj. mając filtr cyfrowy w postaci

$$\frac{a_0(z - a_1)}{(z - b_1)(z - b_2)}$$

dyskretyzowałem liczby  $a_1$ ,  $b_1$ ,  $b_2$ .

Okazuje się, że nie jest najlepszy sposób dyskretyzacji by sprawdzić rzeczywiste efekty tego procesu.

Lepszy sposób prezentowany w kolejnym paragrafie, polega na dyskretyzacji końcowych współczynników

filtru, a więc współczynników  $c_0$ ,  $c_1$ ,  $d_0$ ,  $d_1$ ,  $d_2$  filtru  $\frac{c_0 + c_1 z}{d_0 + d_1 z + d_2 z^2}$  będącego wymnożoną postacią

wyżej przedstawionego filtru.

## 14.2.2 Definicje

```

In[3]:= DiscretizeList[x_, max_, bits_] :=
  If[# ≥ 0, 1, -1] Round[(Abs[#] / max) (Power[2, bits - 1] - 1)] max / (Power[2, bits - 1] - 1) & /@ x;

In[279]:= DiscretizeComplexLists[x_, y_, coeff_, bits_] := Module[{xD, yD, coeffD, max},
  If[y == {}, {},
    max = Max[Abs[Join[Re@x, Im@x, Re@y, Im@y, Re@{coeff}, Im@{coeff}]]];
    xD = DiscretizeList[Re@x, max, bits] + i DiscretizeList[Im@x, max, bits];
    yD = DiscretizeList[Re@y, max, bits] + i DiscretizeList[Im@y, max, bits];
    coeffD = Total[DiscretizeList[{Re@coeff, i Im@coeff}, max, bits]];
    {xD, yD, coeffD}];
];

DiscretizeModel[tf_, bits_] := Module[{tfD, coeff, zeros, poles, coeffD, zerosD, polesD},
  coeff = First[Flatten[Numerator[tf[z]]]];
  coeff = If[Length[coeff] > 0, coeff[[1]], coeff];
  zeros = (z /. Solve[Numerator@(tf[z]) == 0, z]) /. {z -> {}};
  poles = (z /. Solve[Denominator@(tf[z] / coeff) == 0, z]);
  {zerosD, polesD, coeffD} = DiscretizeComplexLists[zeros, poles, Last@poles, bits];
  (*nie wykorzystuję coeffD, bo często jest bardzo mały i przechodzi w 0 podczas
  dyskretyzacji, by nie zaburzyć wyniku, podaję mu inny, istniejący biegun*)
  Chop[coeff (z - zerosD /. {List -> Times}) / (z - polesD /. {List -> Times})]
];

```

Pomocnicza funkcja by pobrać bieguny zdyskretyzowanych filtrów

```

In[53]:= ExtractPoles[tf_] := Module[{coeff},
  coeff = First[Flatten[Numerator[tf]]];
  coeff = If[Length[coeff] > 0, coeff[[1]], coeff];
  (z /. Solve[Denominator@(tf / coeff) == 0, z])
]

```

Ustalamy ilość bitów do symulacji

```

In[365]:= bity = 6;

```

## 14.2.3 Testy

```

In[54]:= {a, b, c} = DiscretizeComplexLists[{1, 2, 3}, {i, i 2, i 3}, 2, 6]

```

```

Out[54]:= {{30/31, 63/31, 3}, {30 i/31, 63 i/31, 3 i}, 63/31}

```

Dyskretyzujemy na poziomie filtrów cyfrowych

```

In[13]:= buttModel = DGBmodels[[1, 1]]

```

```

Out[13]:= 
$$\left( \frac{0.047619 \left( 1. + \frac{z}{2} \right)}{-0.904762 + \frac{z}{2}} \right)_1 \mathcal{T}$$


```

```
In[61]:= polesButt = TransferFunctionPoles[buttModel][[1, 1]]
```

```
Out[61]= {0.904762}
```

```
In[231]:= buttModelD = DiscretizeModel[buttModel, bity]
```

```
Out[231]= 
$$\frac{0.047619 (1. + z)}{-0.903226 + z}$$

```

```
In[60]:= polesButtD = ExtractPoles[buttModelD]
```

```
Out[60]= {0.90411}
```

Ale funkcja dyskretyzująca działa też dla filtrów analogowych

```
In[15]:= buttModel2 = bmodels[[3, 3]]
```

```
Out[15]= 
$$\left( \frac{0.125}{((0.25 - 0.433013 i) + s) ((0.25 + 0.433013 i) + s) (0.5 + s)} \right) \tau$$

```

```
In[281]:= buttModel2D = DiscretizeModel[buttModel2, bity]
```

```
Out[281]= 
$$\frac{0.125}{((0.258065 - 0.435484 i) + z) ((0.258065 + 0.435484 i) + z) (0.5 + z)}$$

```

#### 14.2.4 Dyskretyzacja

```
In[301]:= DGBmodelsD = Map[DiscretizeModel[#, bity] &, DGBmodels, {2}];
```

```
In[302]:= DGc1modelsD = Map[DiscretizeModel[#, bity] &, DGc1models, {2}];
```

```
In[303]:= DGc2modelsD = Map[DiscretizeModel[#, bity] &, DGc2models, {2}];
```

```
In[304]:= DGemodelsD = Map[DiscretizeModel[#, bity] &, DGemodels, {2}];
```

#### 14.2.5 Porównanie położenia biegunów

##### ★ Definicje

Przygotowuję funkcję rysującą bieguny i zaznaczającą na czerwono te w których bieguny filtru zdyskretyzowanego wychodzą poza okrąg jednostkowy.

```

In[305]:= PlotPoles[poles_, poles2_] :=
  ListPlot[{Transpose[{Re[poles], Im[poles]}], Transpose[{Re[poles2], Im[poles2]}]},
    PlotRange → 1.2 {{-1, 1}, {-1, 1}}, PlotStyle → {PointSize[Large]},
    Background → If[Count[poles2, _? (Abs[#] ≥ 1 &), {1}] > 0, LightRed, White],
    PlotMarkers → {Automatic, Medium}, AxesOrigin → {0, 0}, Epilog → {Green, Circle[]},
    AspectRatio → Automatic]

AsymptoticallyStableQ[tfm_?ContinuousTimeModelQ] := If[
  Count[TransferFunctionPoles[tfm], Complex[x_?NonNegative, _] | x_?NonNegative, {3}] > 0,
  False, True]

AsymptoticallyStableQ[tfm_?DiscreteTimeModelQ] := If[
  Count[TransferFunctionPoles[tfm], _? (Abs[#] ≥ 1 &), {3}] > 0, False, True]

```

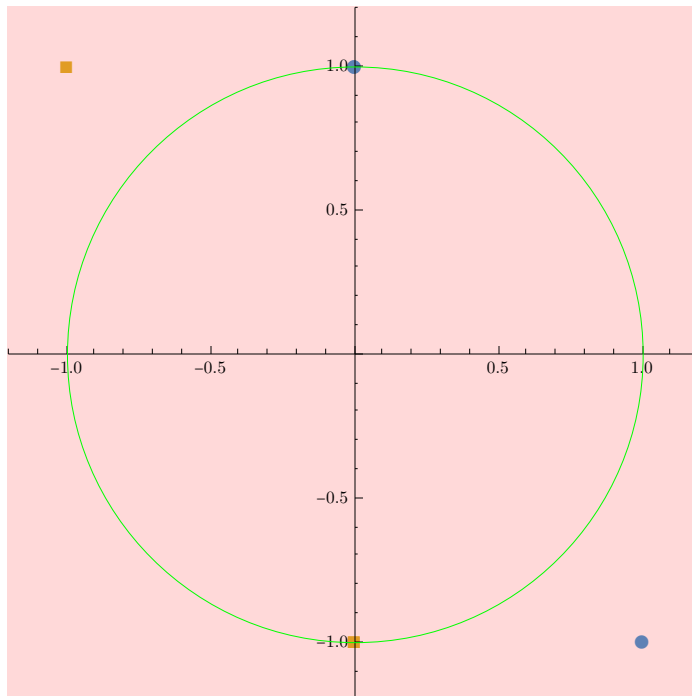
★ Testy

```

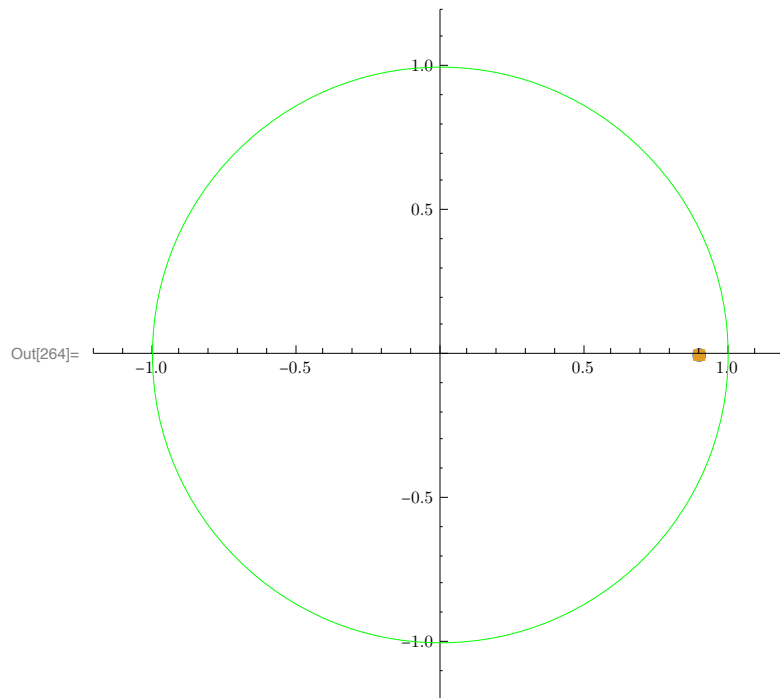
In[265]:= PlotPoles[{1 - i, i}, -{1 - i, i}]

```

Out[265]=



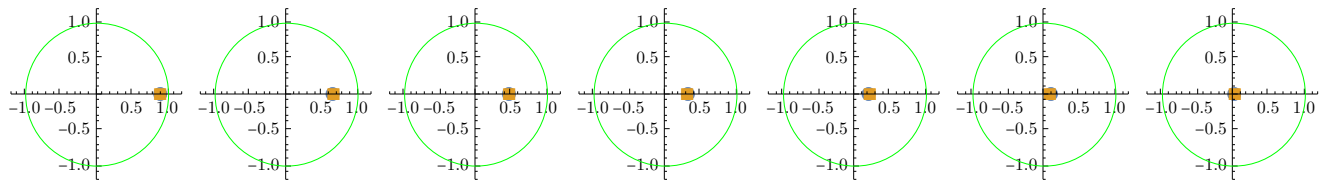
In[264]:= **PlotPoles**[polesButt, polesButtD]

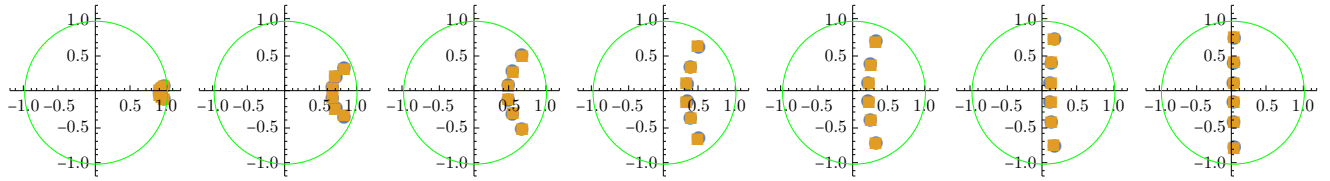
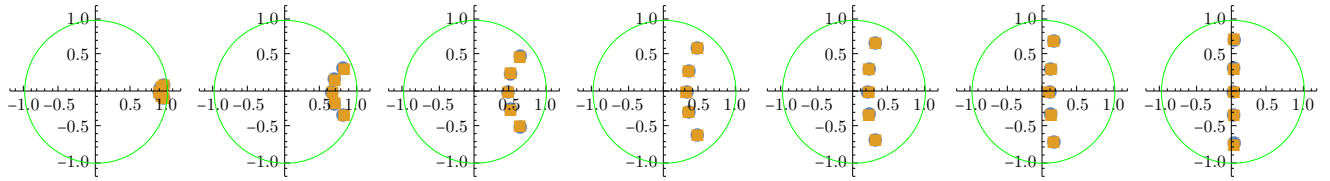
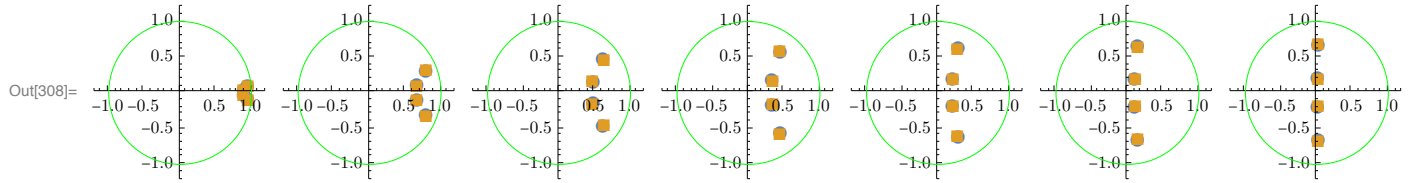
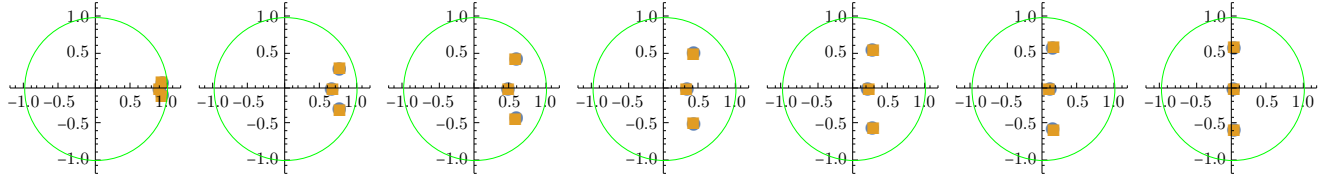
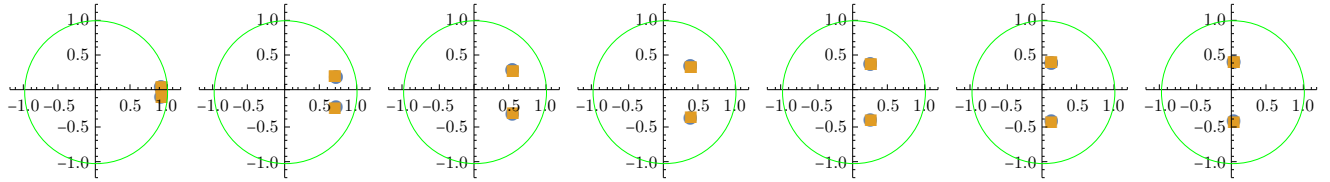


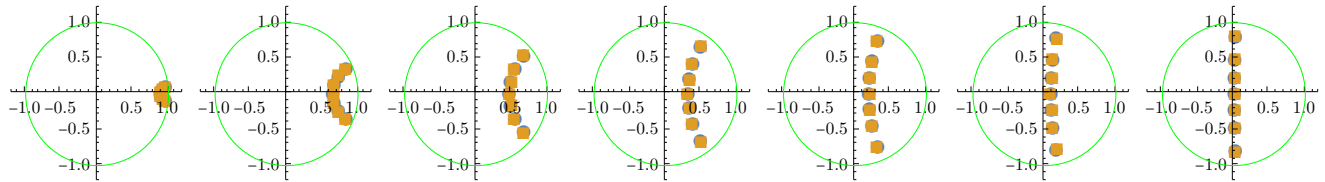
### ★ Butterworth

W prawo rośnie częstotliwość, w dół rośnie rząd filtra.

In[308]:= **Grid@MapThread**[**PlotPoles**[**TransferFunctionPoles**[#1][[1, 1]], **ExtractPoles**[#2]] &, {DGBmodels, DGBmodelsD}, 2]

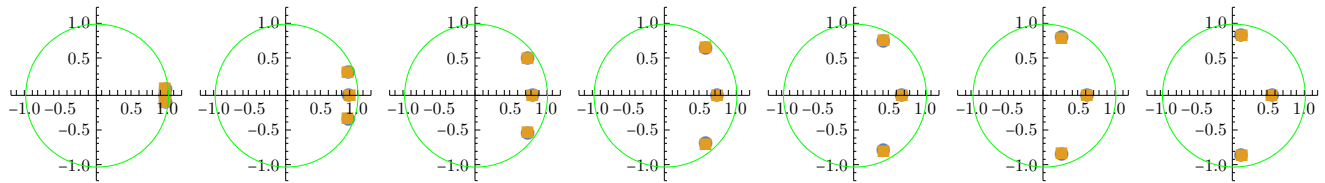
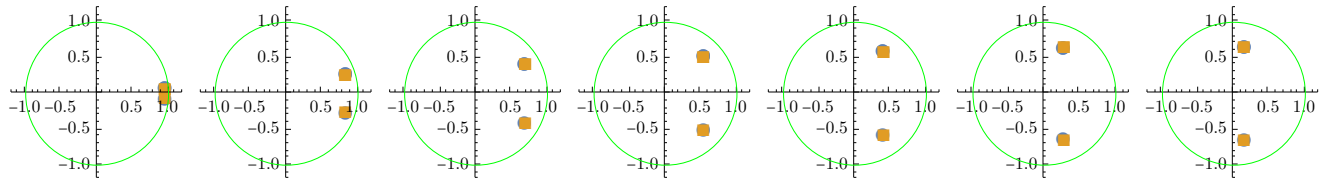
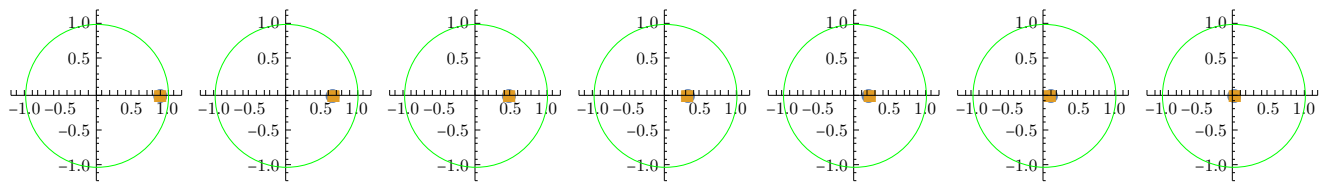






★ Chebyshev 1

```
In[309]:= Grid@MapThread[PlotPoles[TransferFunctionPoles[#1][[1, 1]], ExtractPoles[#2]] &,
  {DGclmodels, DGclmodelsD}, 2]
```

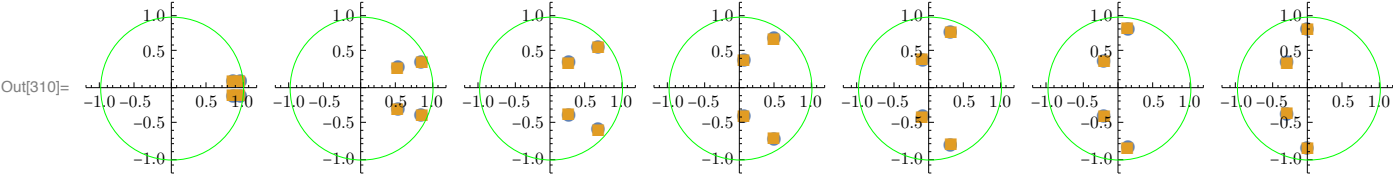
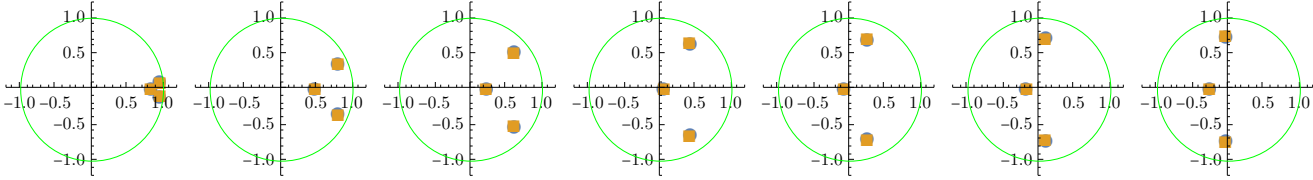
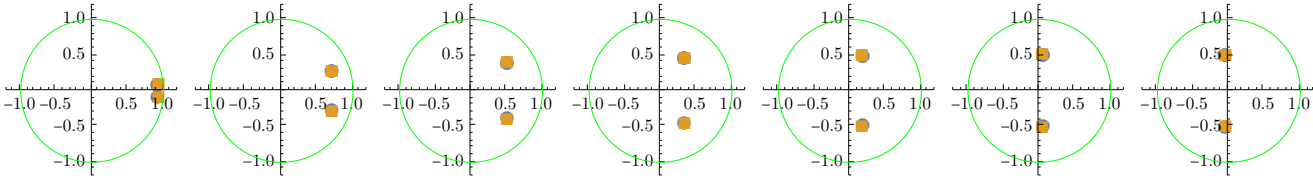
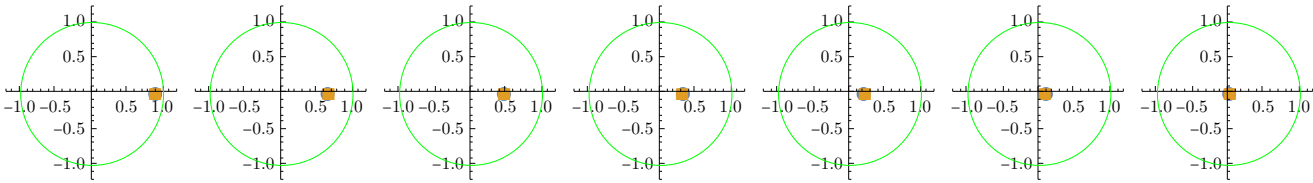


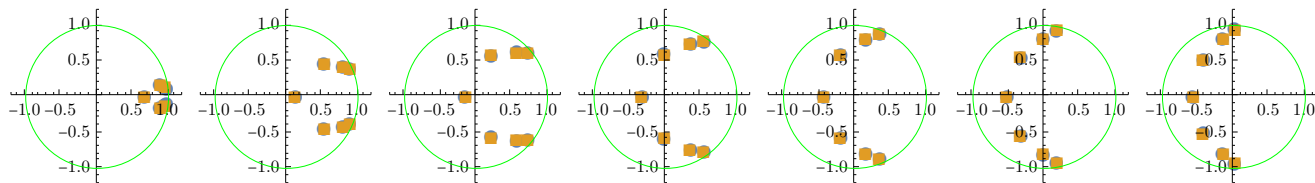
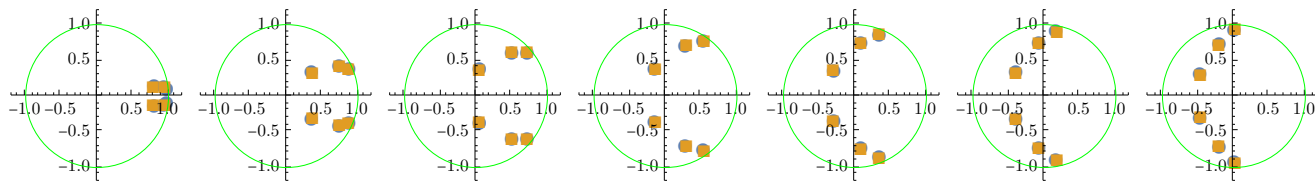
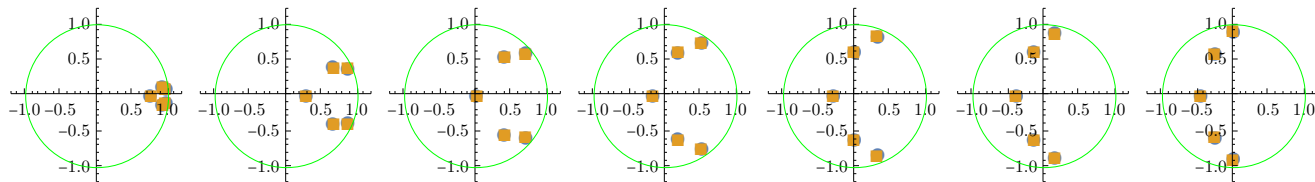




★ Chebyshev 2

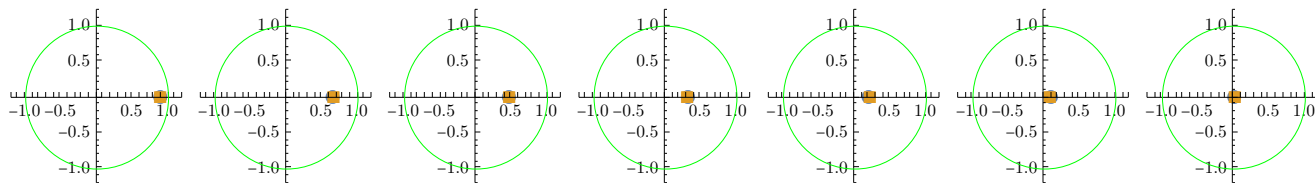
```
In[310]:= Grid@MapThread[PlotPoles[TransferFunctionPoles[#1][[1, 1]], ExtractPoles[#2]] &,
  {Dgc2models, Dgc2modelsD}, 2]
```

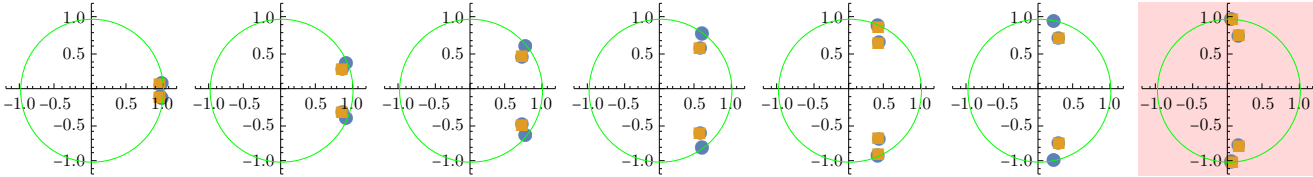
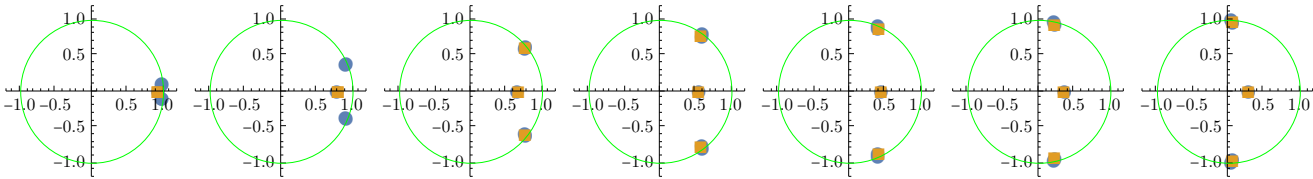
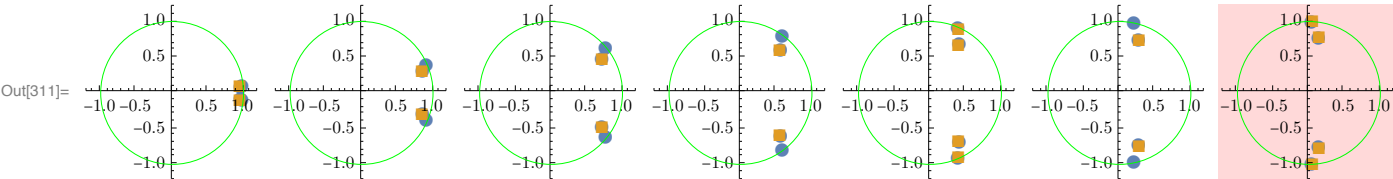
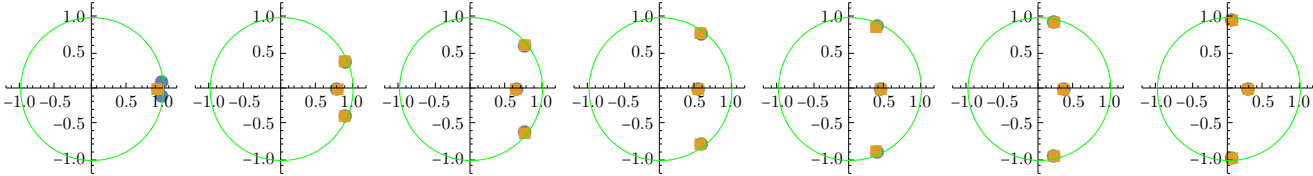
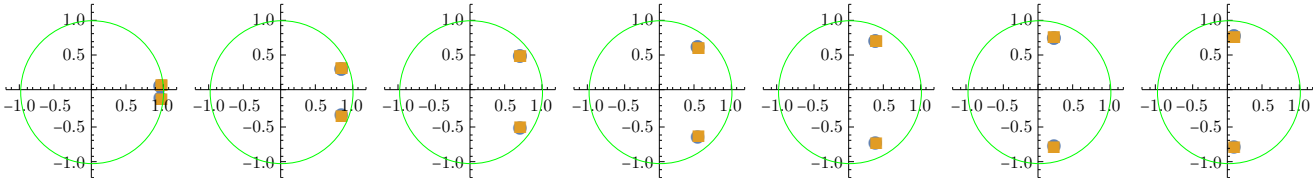


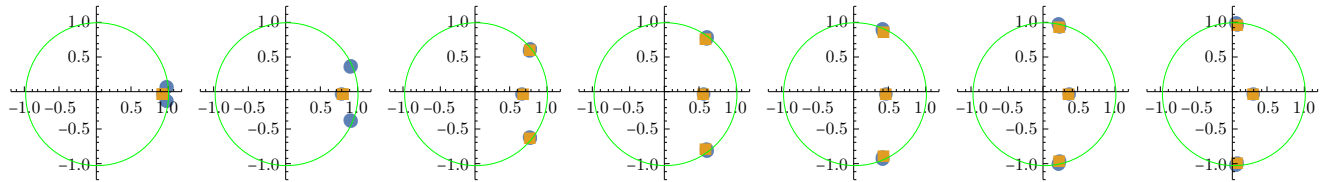


★ Eliptyczne

```
In[311]:= Grid@MapThread[PlotPoles[TransferFunctionPoles[#1][[1, 1]], ExtractPoles[#2]] &,
  {DGmodels, DGmodelsD}, 2]
```







## 14.3 Dyskretyzacja na poziomie współczynników

### 14.3.1 Definicje

```
In[359]:= DiscretizeList[x_, max_, bits_] :=
  If[# > 0, 1, -1] Round[(Abs[#] / max) (Power[2, bits - 1] - 1)] max / (Power[2, bits - 1] - 1) & /@ x;
DiscretizeComplexList[x_, y_, bits_] := Module[{xD, yD, coeffD, max},
  If[y == {}, {},
    max = Max[Abs[Join[Re@x, Im@x, Re@y, Im@y]]];
    xD = DiscretizeList[Re@x, max, bits] + i DiscretizeList[Im@x, max, bits];
    yD = DiscretizeList[Re@y, max, bits] + i DiscretizeList[Im@y, max, bits];
    {xD, yD}
  ];
DiscretizeModelCoeffs[tf_, bits_] := Module[{zeros, poles, zerosD, polesD},
  zeros = CoefficientList[Numerator[TransferFunctionExpand[tf][z]][[1, 1]], z];
  poles = CoefficientList[Denominator[TransferFunctionExpand[tf][z]][[1, 1]], z];
  {zerosD, polesD} = DiscretizeComplexList[zeros, poles, bits];
  Chop[FromDigits[Reverse[zerosD], z] / (FromDigits[Reverse[polesD], z])]
];
```

### 14.3.2 Testy

```
In[363]:= {a, c} = DiscretizeComplexList[{1, 2, 3}, {i, i 2, i 3}, 2]
```

```
Out[363]:= {{0, 3, 3}, {0, 3 i, 3 i}}
```

Dyskretyzujemy na poziomie filtrów cyfrowych

```
In[371]:= buttModel = TransferFunctionExpand@DGbmodels[[2, 2]]
```

```
Out[371]:= 
$$\left( \frac{0.0302379 + 0.0604758 \frac{z}{z} + 0.0302379 \frac{z^2}{z}}{(0.572371 + 0. i) - (1.45142 + 0. i) \frac{z}{z} + \frac{z^2}{z}} \right) \tau_1$$

```

```
In[373]:= polesButt = TransferFunctionPoles[buttModel][[1, 1]]
```

```
Out[373]:= {0.72571 - 0.213814 i, 0.72571 + 0.213814 i}
```

```
In[374]:= buttModelD = N@DiscretizeModelCoeffs[buttModel, bity]
```

```
Out[374]:= 
$$\frac{0.04682 + 0.04682 z + 0.04682 z^2}{0.56184 - 1.45142 z + 0.98322 z^2}$$

```

```
In[375]:= polesButtD = ExtractPoles[buttModelD]
```

```
Out[375]:= {0.738095 - 0.16323 i, 0.738095 + 0.16323 i}
```

### 14.3.3 Dyskretyzacja

```
In[376]:= DGBmodelsDc = Map[DiscretizeModelCoeffs[#, bity] &, DGBmodels, {2}];
```

```
In[377]:= DGC1modelsDc = Map[DiscretizeModelCoeffs[#, bity] &, DGC1models, {2}];
```

```
In[378]:= DGC2modelsDc = Map[DiscretizeModelCoeffs[#, bity] &, DGC2models, {2}];
```

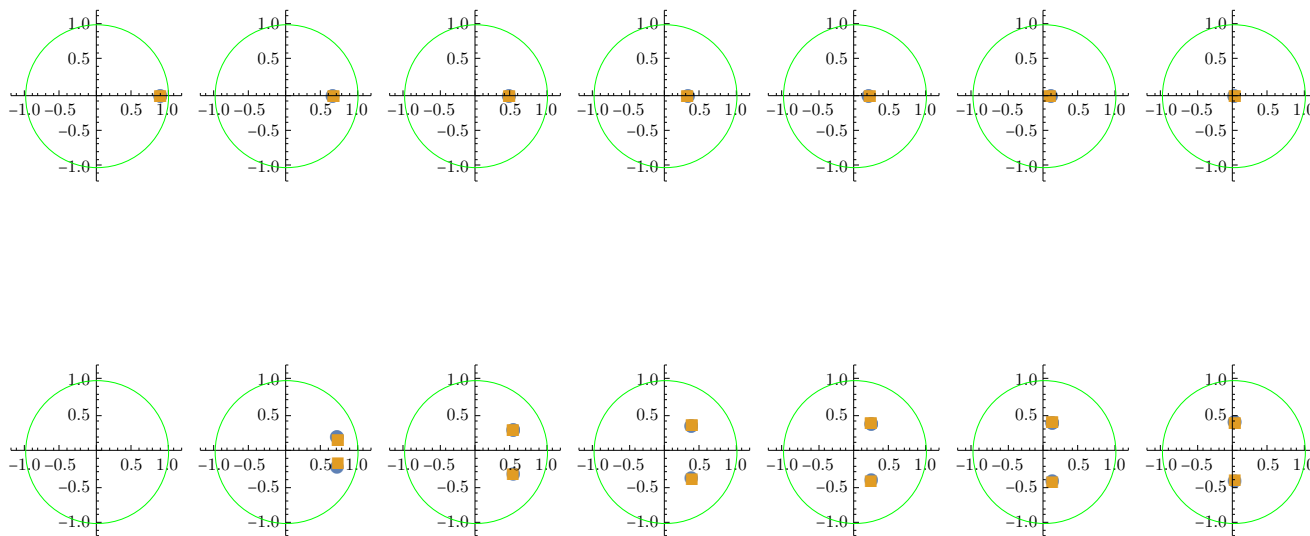
```
In[379]:= DGeModelsDc = Map[DiscretizeModelCoeffs[#, bity] &, DGeModels, {2}];
```

### 14.3.4 Porównanie położenia biegunów

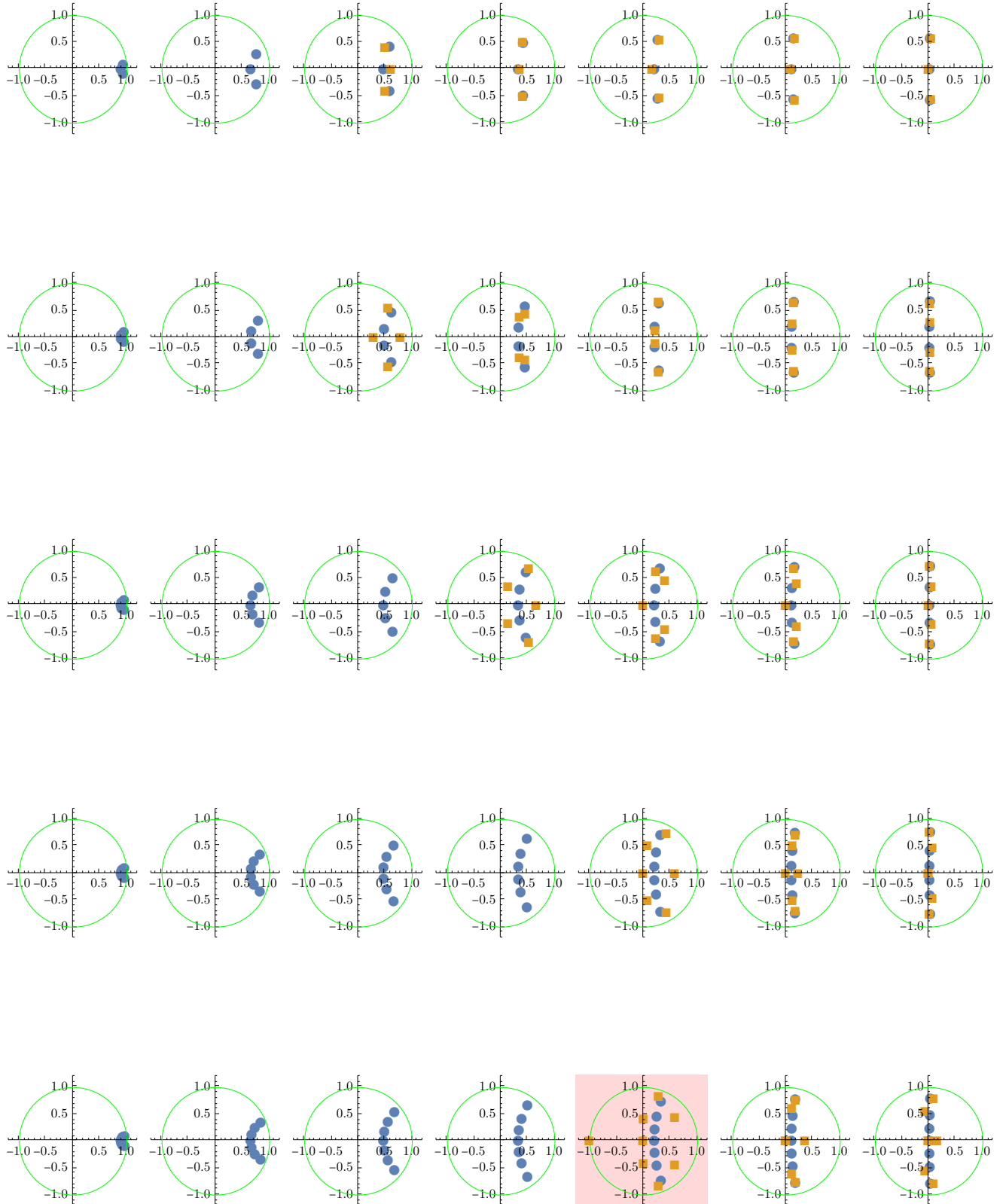
#### ★ Butterworth

W prawo rośnie częstotliwość, w dół rośnie rząd filtra.

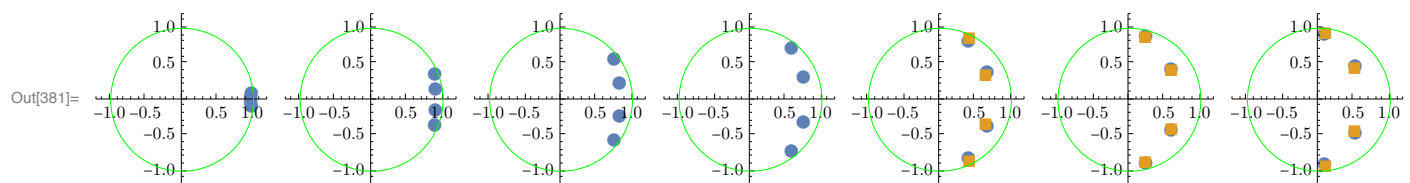
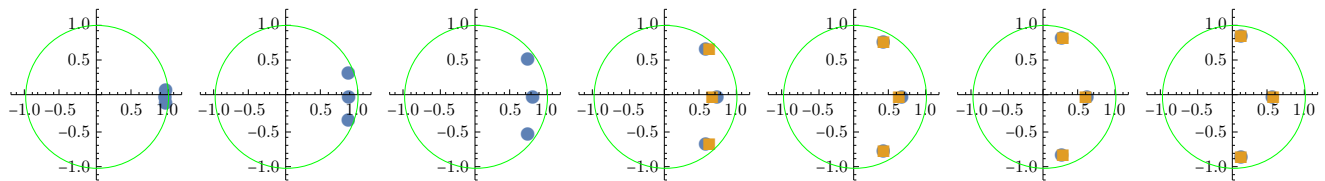
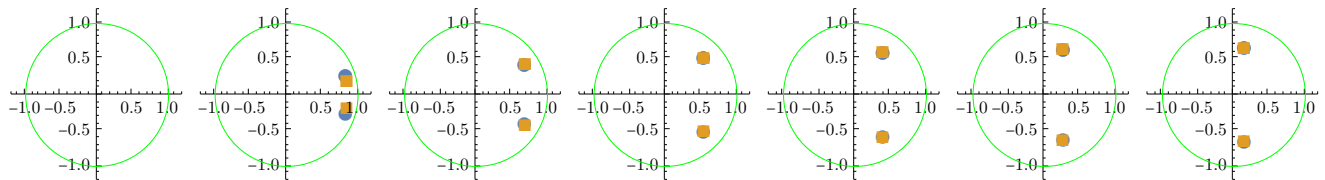
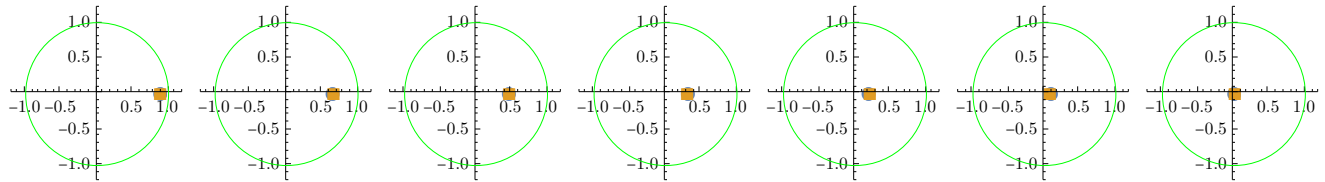
```
In[380]:= Grid@MapThread[PlotPoles[TransferFunctionPoles[#1][[1, 1]], ExtractPoles[#2]] &,
  {DGBmodels, DGBmodelsDc}, 2]
```



Out[380]=

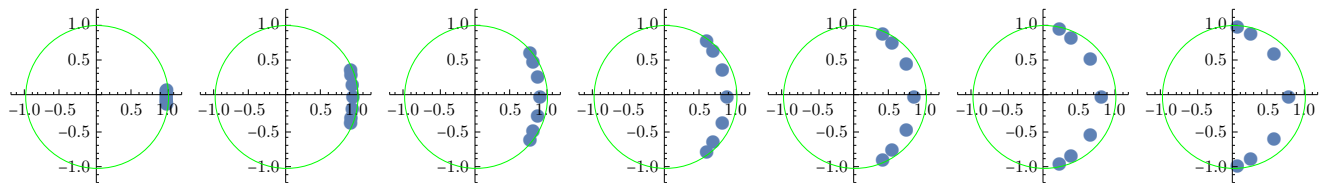
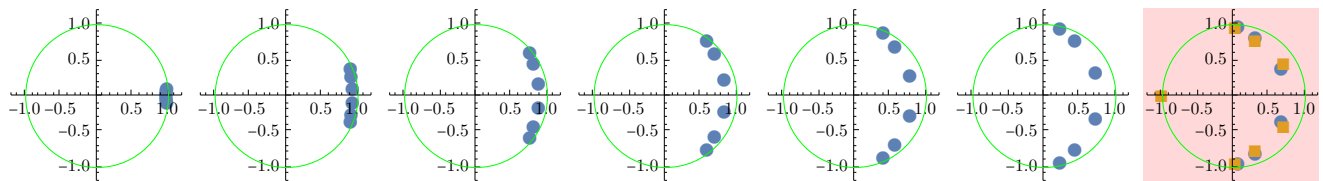
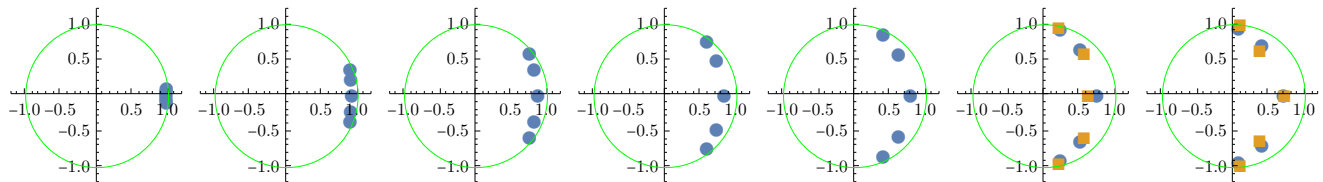


```
In[381]:= Grid@MapThread[PlotPoles[TransferFunctionPoles[#1][[1, 1]], ExtractPoles[#2]] &,
           {DGclmodels, DGclmodelsDc}, 2]
```



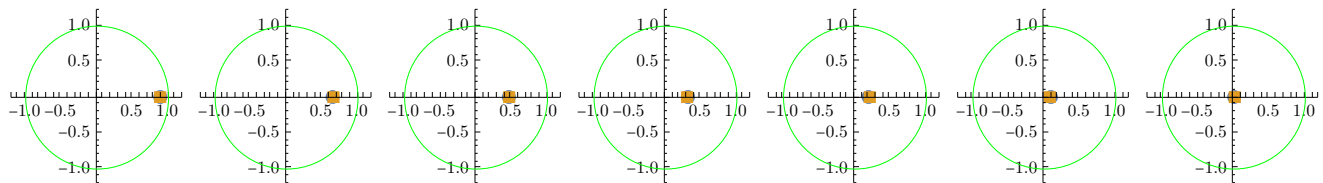
Out[381]=

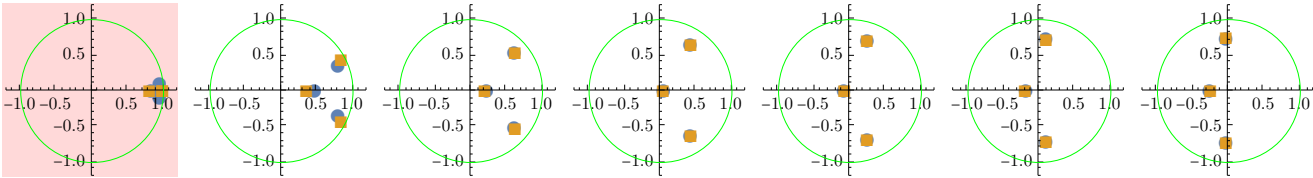
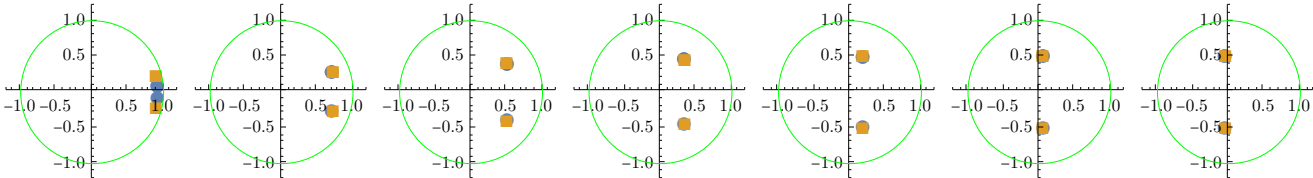




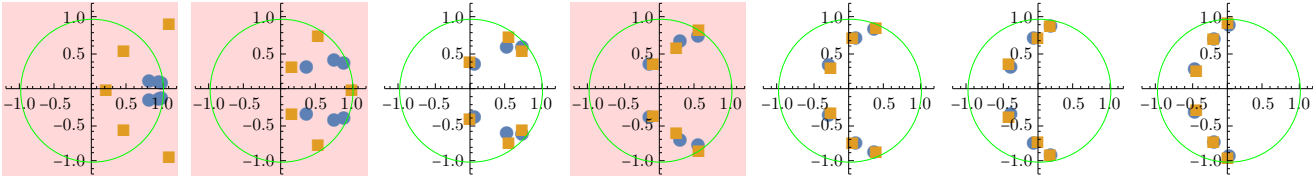
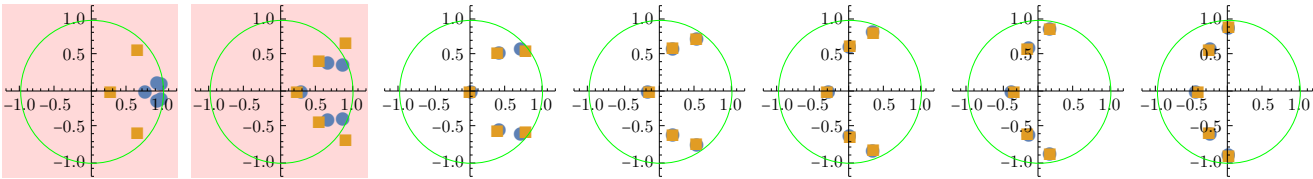
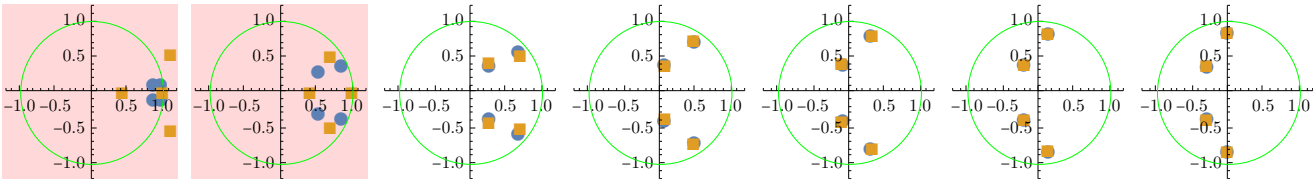
★ Chebyshev 2

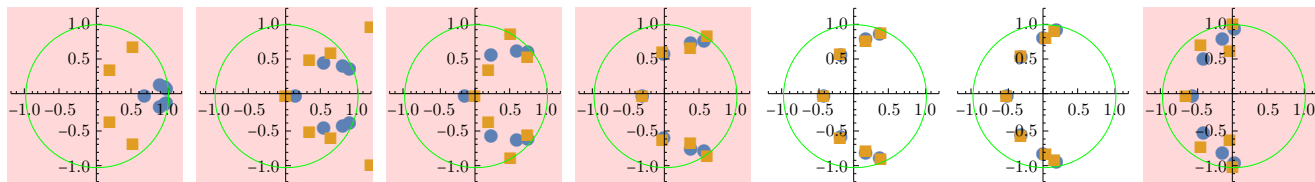
```
In[382]:= Grid@MapThread[PlotPoles[TransferFunctionPoles[#1][[1, 1]], ExtractPoles[#2]] &,
  {Dgc2models, Dgc2modelsDc}, 2]
```





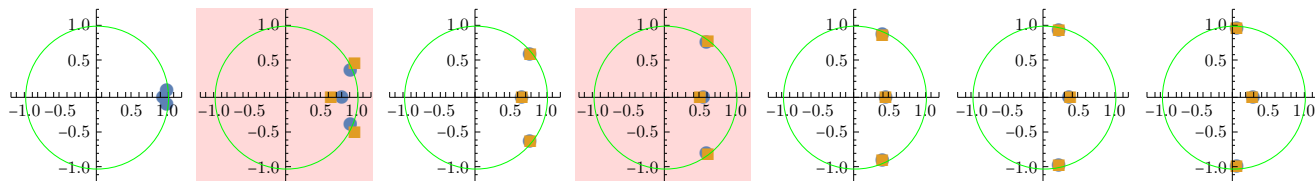
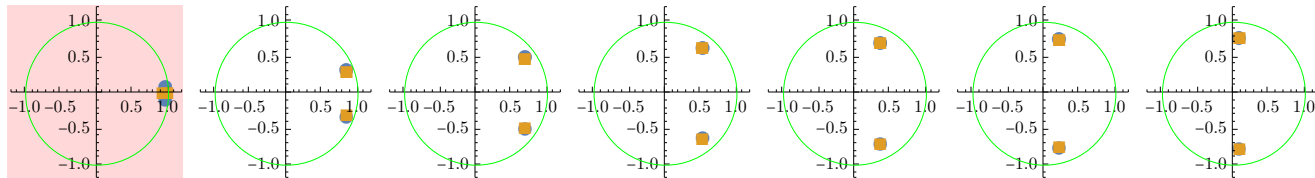
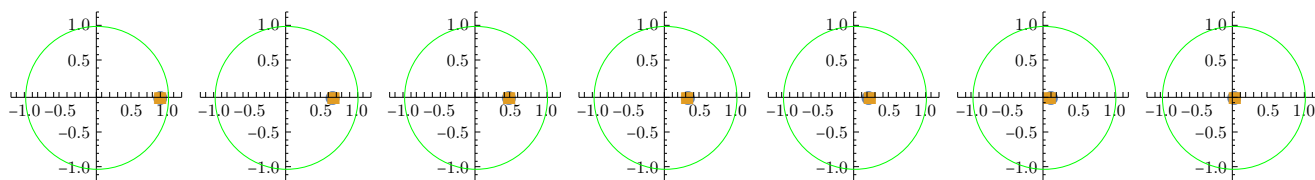
Out[382]=

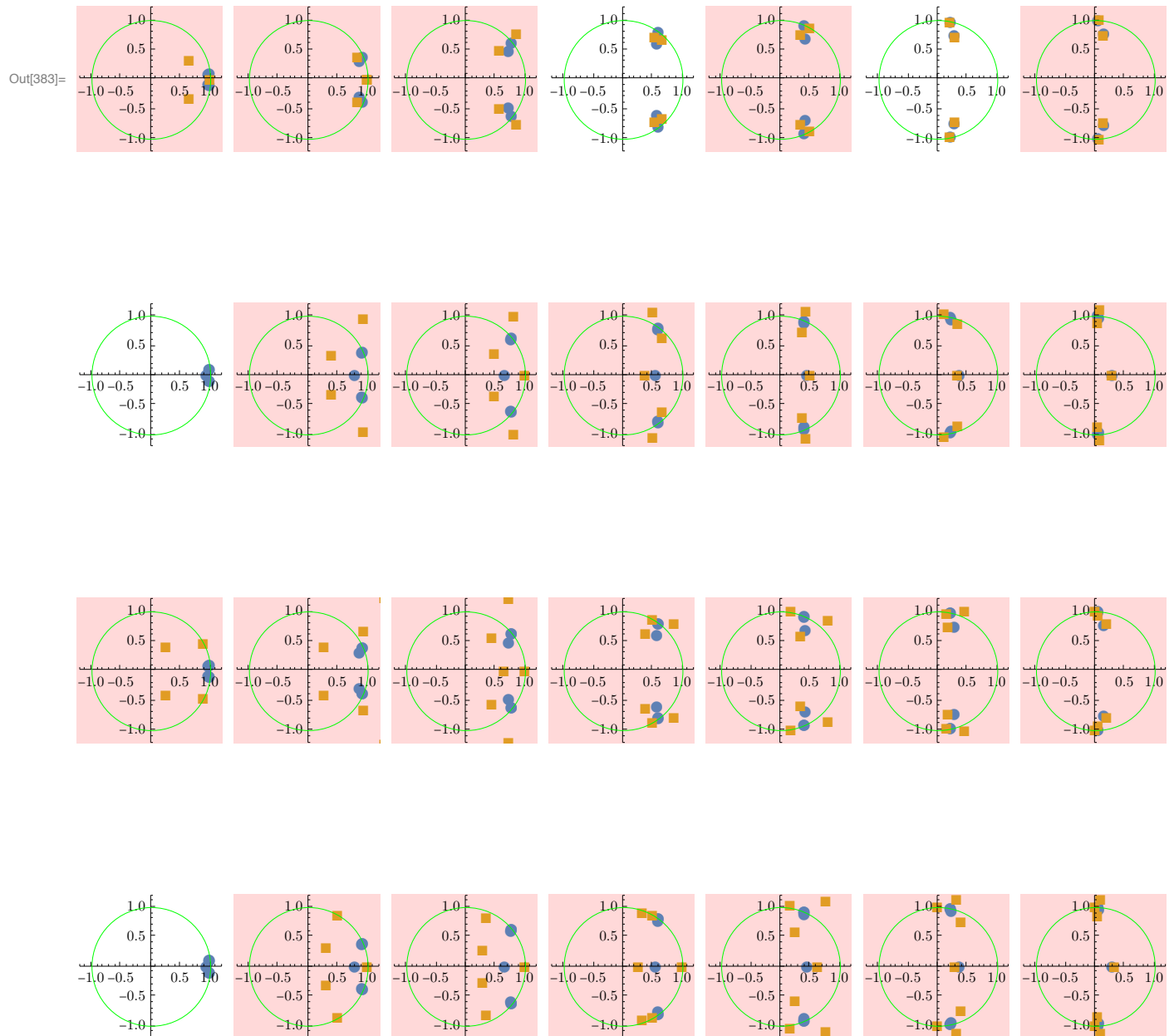




★ Eliptyczne

```
In[383]:= Grid@MapThread[PlotPoles[TransferFunctionPoles[#1][[1, 1]], ExtractPoles[#2]] &,
  {DGemodels, DGemodelsDc}, 2]
```





## 14.4 Dyskusja

Przy dyskretyzacji biegunów koniecznym zabiegiem okazało się nie dyskretyzowanie współczynnika stojącego przed całością filtra, gdyż przy niskich częstotliwościach i wysokich rzędach filtrów stawał się on bardzo mały, a po dyskretyzacji  $= 0$ . Przy tych założeniach większość filtrów okazała się stabilna przy dyskretyzacji za pomocą 6 bitów.

Okazuje się jednak, że dyskretyzacja na poziomie biegunów prowadzi do obniżenia rzędu filtra w przypadku filtrów eliptycznych (tj. zera i bieguny znajdujące się blisko siebie zaczynają wzajemnie się

skracać)

Dyskretyzacja współczynników ma bardzo podobny problem widoczny przy niskich częstotliwościach filtru Butterwortha i Chebysheva 1, z powodu znikającego licznika znika cały filtr.

Ponadto widać, iż filtry eliptyczne powyżej 3 rzędu robią się bardzo niestabilne (niektóre nie są zaznaczone na czerwono bo filtr znikł z powodów wspomnianych wyżej)

W świetle tych wyników oraz faktu, iż na urządzeniu będziemy dyskretyzować współczynniki, a nie bieguny, proponuję zastosować dyskretyzację zer i biegunów z osobna, tak by zapobiec zerowaniu się licznika.

Wykonane w celu sprawdzenia tej propozycji symulacje przedstawiam poniżej.

## 14.5 Dyskretyzacja na poziomie współczynników zer i biegunów z osobna

### 14.5.1 Definicje

Tutaj modyfikuję funkcję `DiscretizeComplexList`

```
In[422]:= DiscretizeList[x_, max_, bits_] :=
  If[# ≥ 0, 1, -1] Round[(Abs[#] / max) (Power[2, bits - 1] - 1)] max / (Power[2, bits - 1] - 1) & /@ x;
DiscretizeComplexList2[x_, y_, bits_] := Module[{xD, yD, coeffD, max},
  If[y == {}, {},
    max = Max[Abs[Join[Re@x, Im@x]]];
    xD = DiscretizeList[Re@x, max, bits] + I DiscretizeList[Im@x, max, bits];
    max = Max[Abs[Join[Re@y, Im@y]]];
    yD = DiscretizeList[Re@y, max, bits] + I DiscretizeList[Im@y, max, bits];
    {xD, yD}
  ];
DiscretizeModelCoeffs2[tf_, bits_] := Module[{zeros, poles, zerosD, polesD},
  zeros = CoefficientList[Numerator[TransferFunctionExpand[tf][z]][[1, 1]], z];
  poles = CoefficientList[Denominator[TransferFunctionExpand[tf][z]][[1, 1]], z];
  {zerosD, polesD} = DiscretizeComplexList2[zeros, poles, bits];
  Chop[FromDigits[Reverse[zerosD], z] / (FromDigits[Reverse[polesD], z])]
];
```

### 14.5.2 Testy

```
In[363]:= {a, c} = DiscretizeComplexList[{1, 2, 3}, {I, I 2, I 3}, 2]
```

```
Out[363]= {{0, 3, 3}, {0, 3 I, 3 I}}
```

Dyskretyzujemy na poziomie filtrów cyfrowych

```
In[371]:= buttModel = TransferFunctionExpand@DGBmodels[[2, 2]]
```

$$\text{Out[371]} = \left( \frac{0.0302379 + 0.0604758 \dot{z} + 0.0302379 \dot{z}^2}{(0.572371 + 0. \dot{i}) - (1.45142 + 0. \dot{i}) \dot{z} + \dot{z}^2} \right)_1 \mathcal{T}$$

```
In[373]:= polesButt = TransferFunctionPoles[buttModel][[1, 1]]
```

```
Out[373]= {0.72571 - 0.213814 i, 0.72571 + 0.213814 i}
```

```
In[374]:= buttModelD = N@DiscretizeModelCoeffs[buttModel, bity]
```

$$\text{Out[374]} = \frac{0.04682 + 0.04682 z + 0.04682 z^2}{0.56184 - 1.45142 z + 0.98322 z^2}$$

```
In[375]:= polesButtD = ExtractPoles[buttModelD]
```

```
Out[375]= {0.738095 - 0.16323 i, 0.738095 + 0.16323 i}
```

### 14.5.3 Dyskretyzacja

```
In[425]:= DGBmodelsDc2 = Map[DiscretizeModelCoeffs2[#, bity] &, DGBmodels, {2}];
```

```
In[426]:= DGC1modelsDc2 = Map[DiscretizeModelCoeffs2[#, bity] &, DGC1models, {2}];
```

```
In[427]:= DGC2modelsDc2 = Map[DiscretizeModelCoeffs2[#, bity] &, DGC2models, {2}];
```

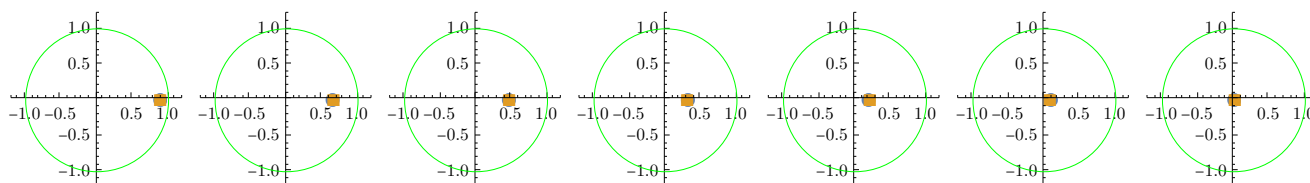
```
In[428]:= DGemodelsDc2 = Map[DiscretizeModelCoeffs2[#, bity] &, DGemodels, {2}];
```

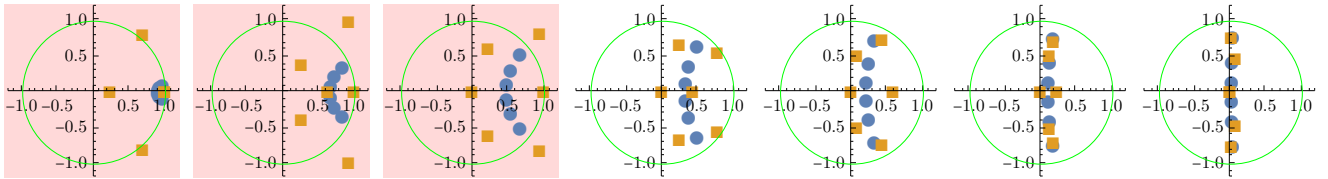
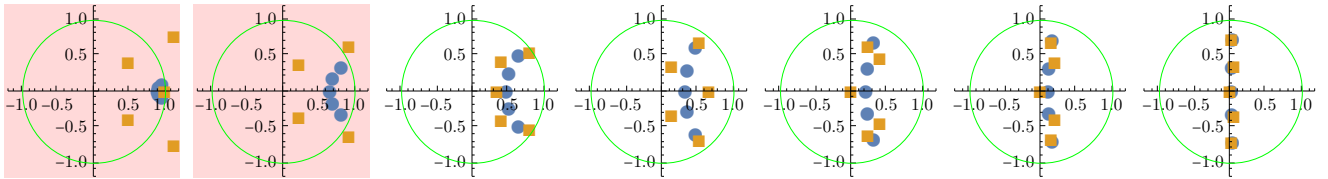
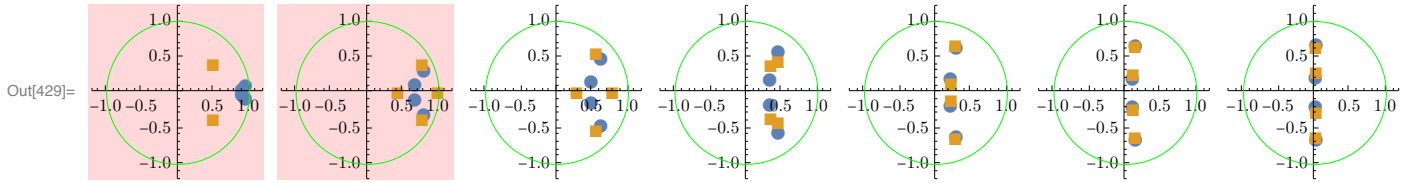
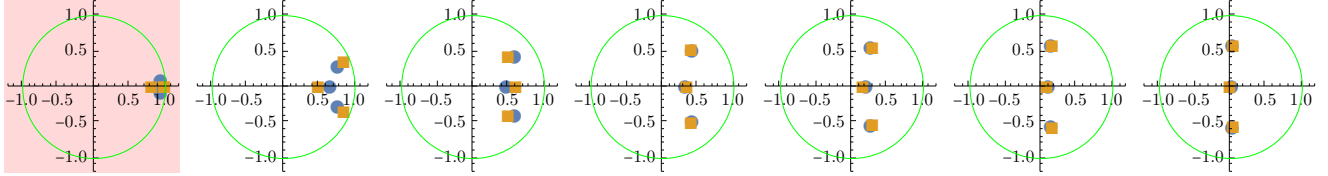
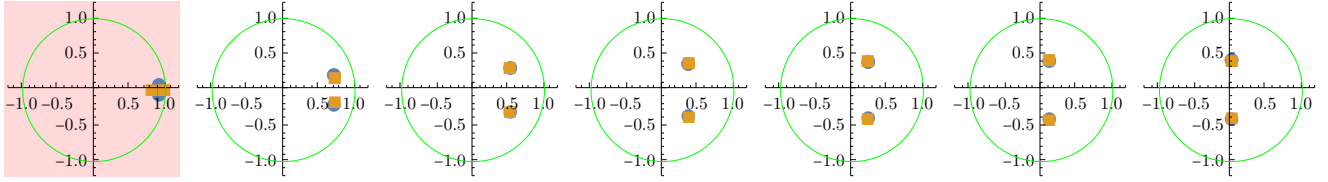
### 14.5.4 Porównanie położenia biegunów

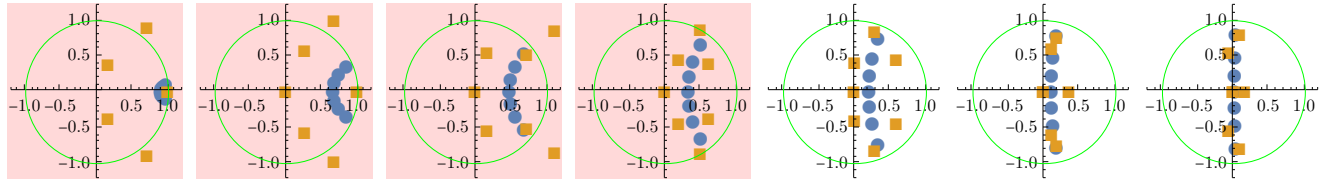
#### ★ Butterworth

W prawo rośnie częstotliwość, w dół rośnie rząd filtra.

```
In[429]:= Grid@MapThread[PlotPoles[TransferFunctionPoles[#1][[1, 1]], ExtractPoles[#2]] &,
  {DGBmodels, DGBmodelsDc2}, 2]
```

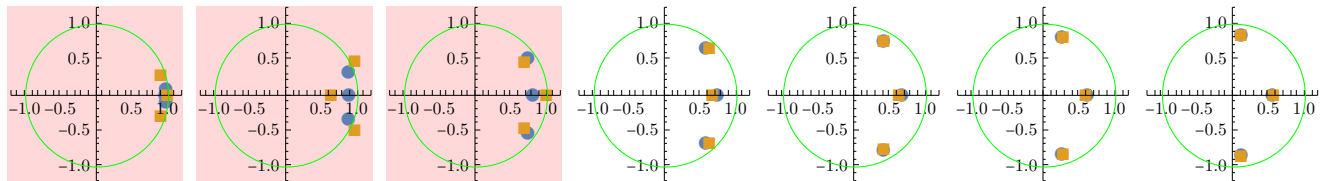
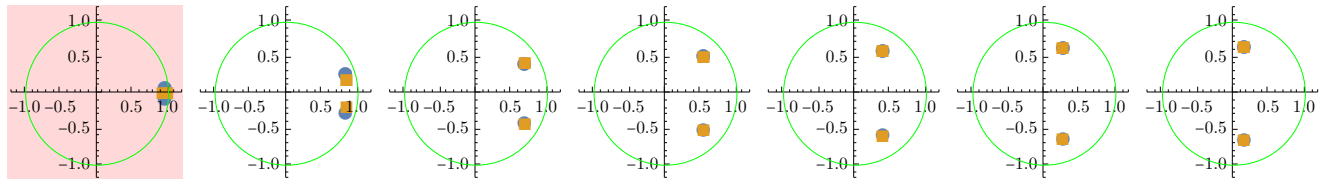
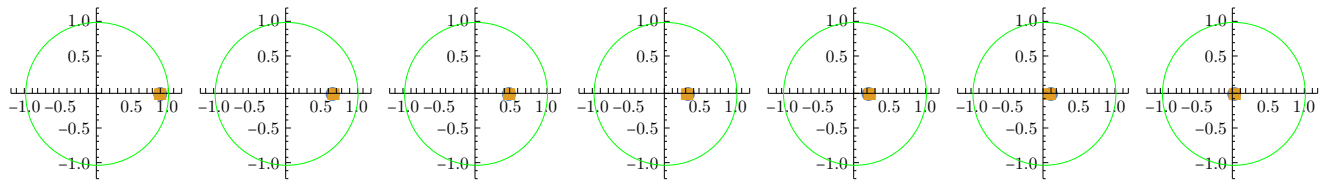






★ Chebyshev 1

```
In[430]:= Grid@MapThread[PlotPoles[TransferFunctionPoles[#1][[1, 1]], ExtractPoles[#2]] &,
  {DGc1models, DGc1modelsDc2}, 2]
```

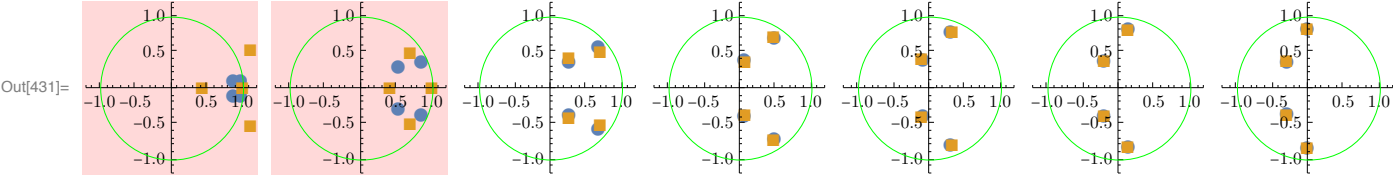
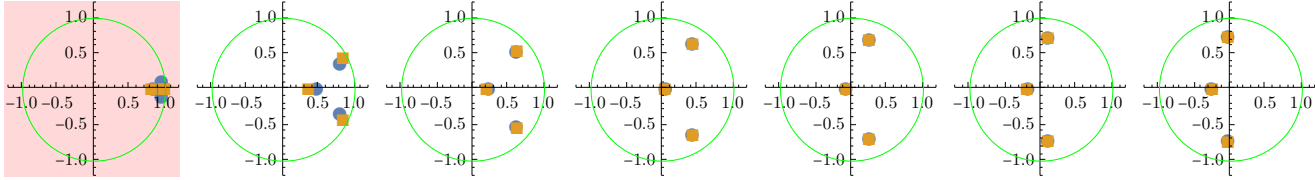
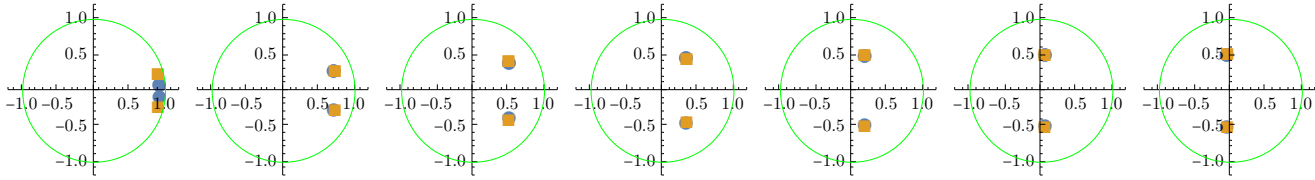
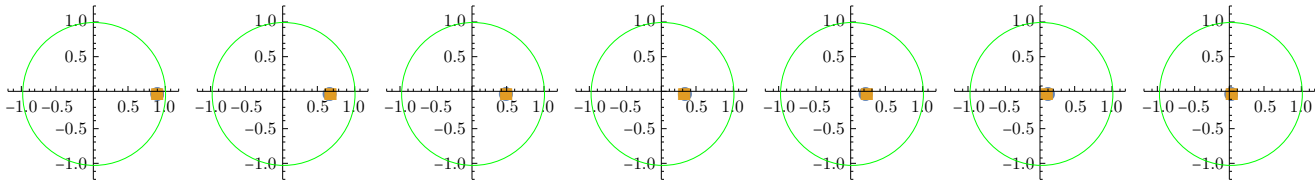


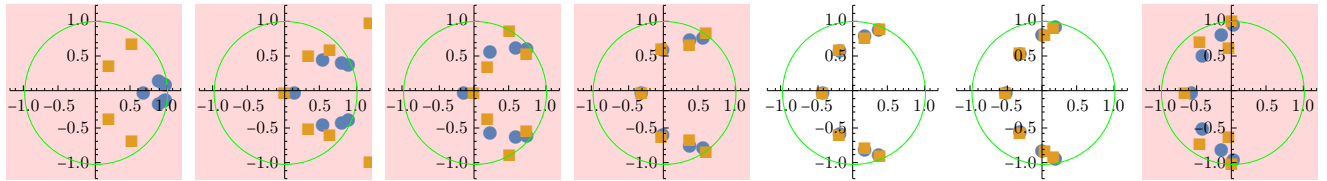
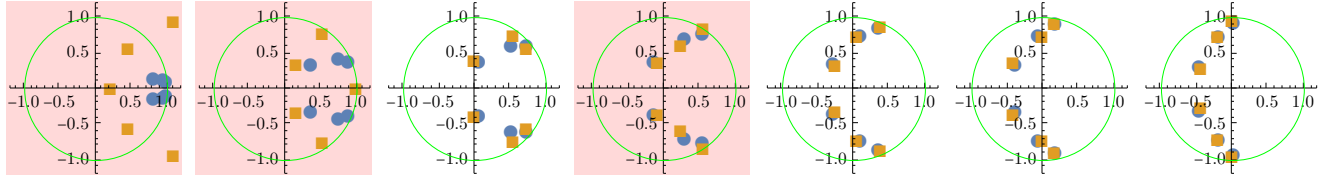
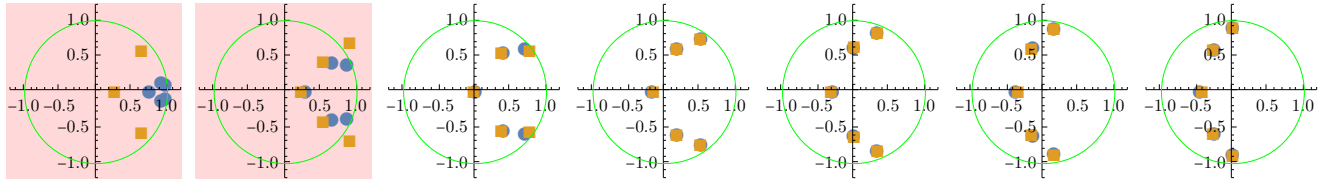




★ Chebyshev 2

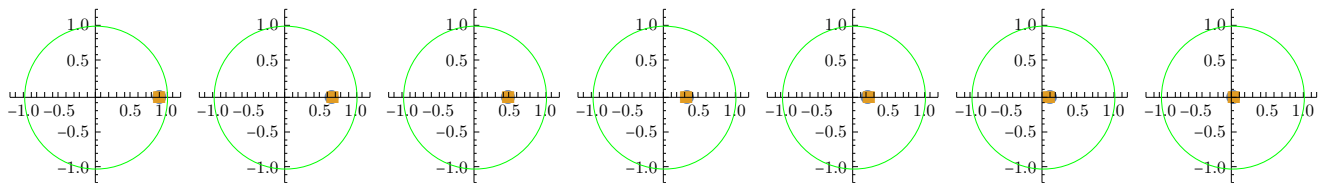
```
In[431]:= Grid@MapThread[PlotPoles[TransferFunctionPoles[#1][[1, 1]], ExtractPoles[#2]] &,
  {Dgc2models, Dgc2modelsDc2}, 2]
```

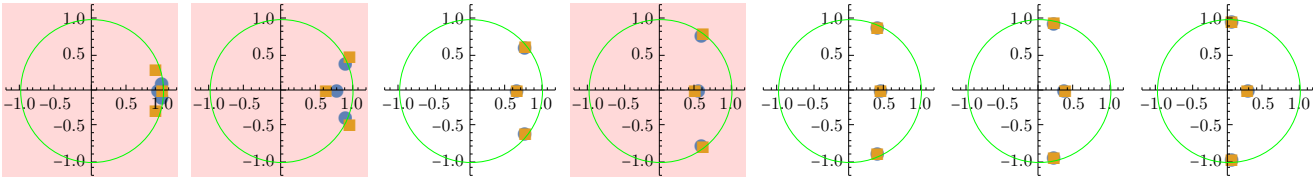
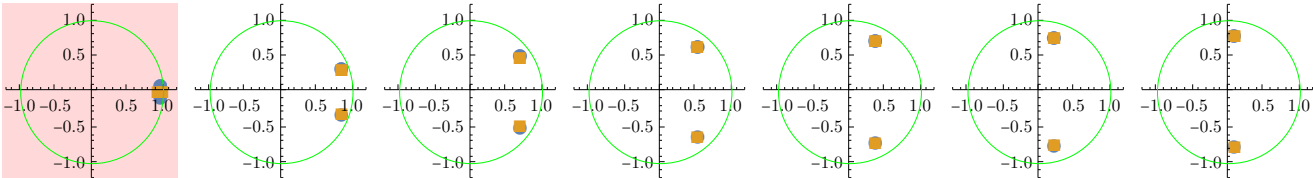




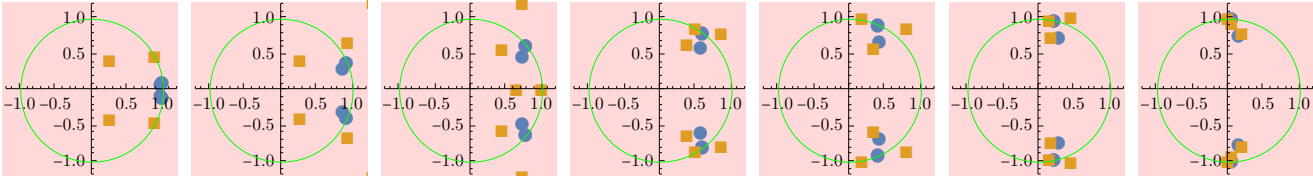
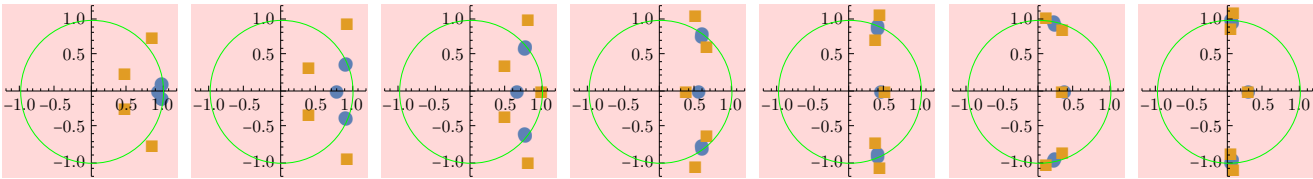
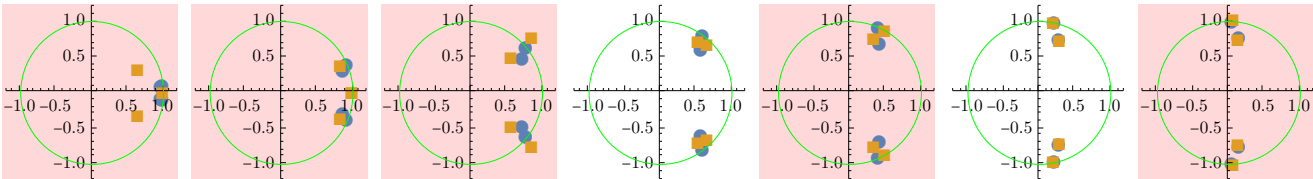
★ Eliptyczne

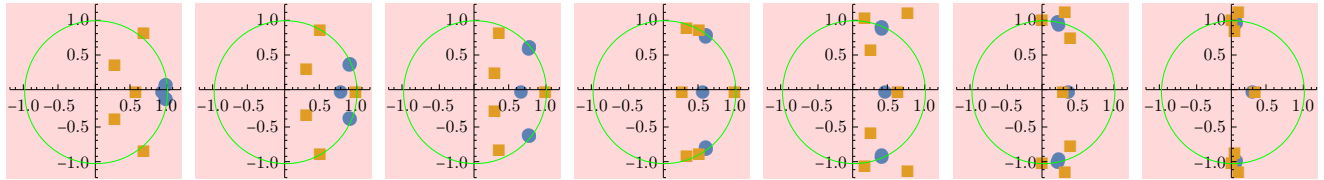
```
In[432]:= Grid@MapThread[PlotPoles[TransferFunctionPoles[#1][[1, 1]], ExtractPoles[#2]] &,
  {DGmodels, DGmodelsDc2}, 2]
```





Out[432]=





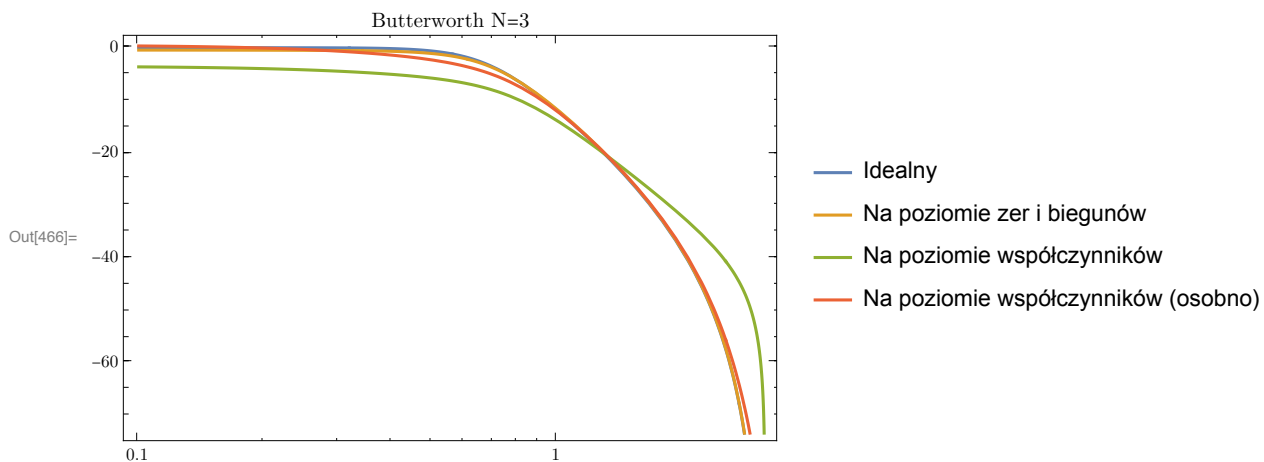
## 15 Podsumowanie

Wbrew pozorom podzielenie procesu dyskretyzacji na współczynniki licznika i mianownika nie przyniosło wielkich zmian - filtry który zniknęły, stały się po prostu niestabilne.

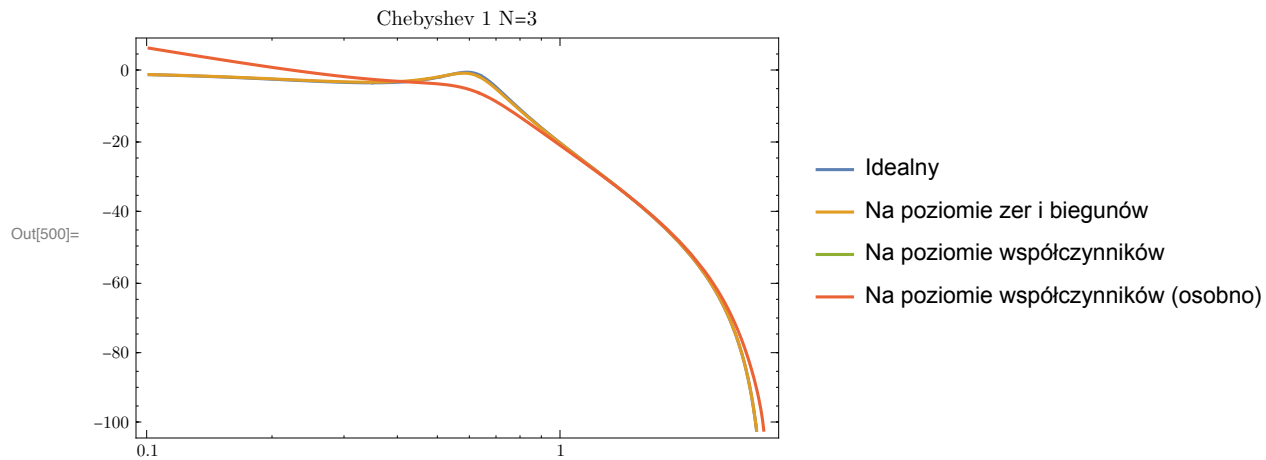
Używając Bode Plot (ilustrujący kwadrat amplitudy (dB) w zależności od  $\omega$ ) można zademonstrować, że lepsze odwzorowanie filtra zależy właśnie od przyjętej strategii dyskretyzacji współczynników.

Poniżej znajdują się przykładowe Bode Ploty dla filtrów Butterwortha trzeciego rzędu i częstotliwości równej 1.

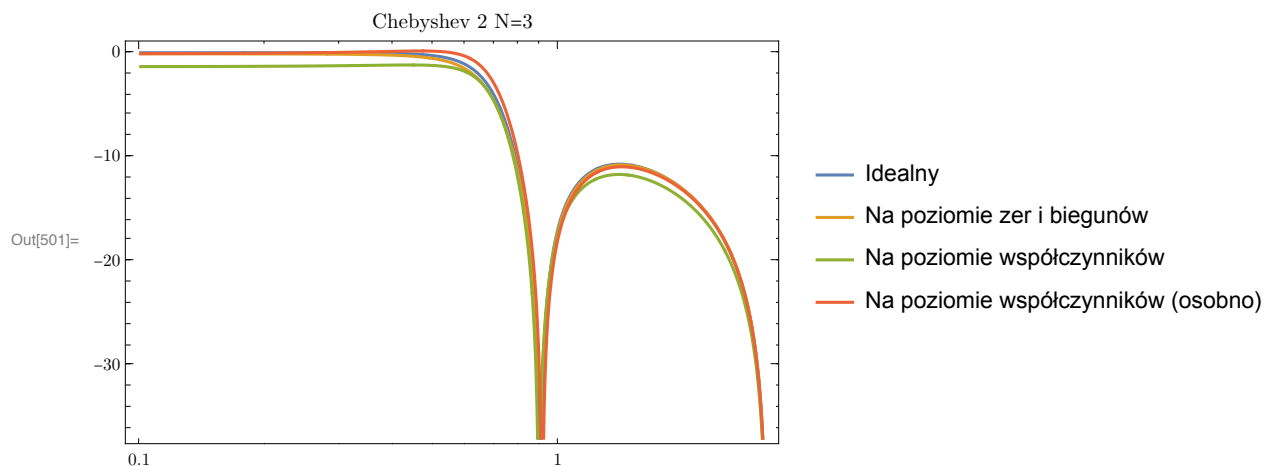
```
In[466]:= BodePlot[{DGBmodels[[3, 3]][eiω], DGBmodelsD[[3, 3]] /. {z -> eiω},
  DGBmodelsDc[[3, 3]] /. {z -> eiω}, DGBmodelsDc2[[3, 3]] /. {z -> eiω}}, {ω, 0.1, π},
  PlotLayout -> "Magnitude",
  PlotLegends -> {"Idealny", "Na poziomie zer i biegunów", "Na poziomie współczynników",
    "Na poziomie współczynników (osobno)"}, PlotLabel -> "Butterworth N=3"]
```



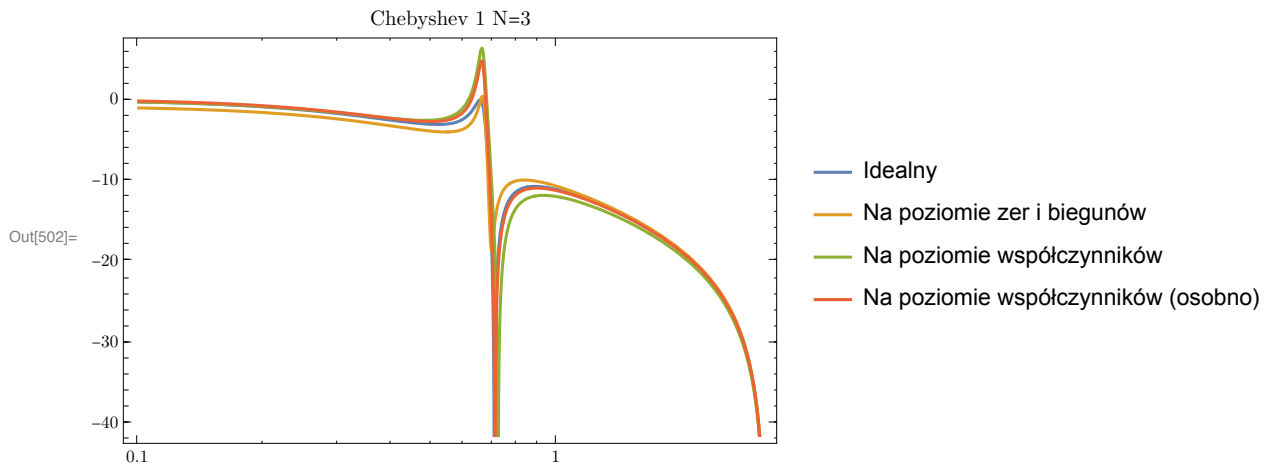
```
In[500]:= BodePlot[{DGc1models[[3, 3]][eiω], DGc1modelsD[[3, 3]] /. {z -> eiω},
  DGc1modelsDc[[3, 3]] /. {z -> eiω}, DGc1modelsDc2[[3, 3]] /. {z -> eiω}}, {ω, 0.1, π},
  PlotLayout -> "Magnitude",
  PlotLegends -> {"Idealny", "Na poziomie zer i biegunów", "Na poziomie współczynników",
    "Na poziomie współczynników (osobno)"}, PlotLabel -> "Chebyshev 1 N=3"]
```



```
In[501]:= BodePlot[{DGc2models[[3, 3]][eiω], DGc2modelsD[[3, 3]] /. {z -> eiω},
  DGc2modelsDc[[3, 3]] /. {z -> eiω}, DGc2modelsDc2[[3, 3]] /. {z -> eiω}}, {ω, 0.1, π},
  PlotLayout -> "Magnitude",
  PlotLegends -> {"Idealny", "Na poziomie zer i biegunów", "Na poziomie współczynników",
    "Na poziomie współczynników (osobno)"}, PlotLabel -> "Chebyshev 2 N=3"]
```



```
In[502]:= BodePlot[{DGeModels[[3, 3]][ejω], DGeModelsD[[3, 3]] /. {z -> ejω},
  DGeModelsDc[[3, 3]] /. {z -> ejω}, DGeModelsDc2[[3, 3]] /. {z -> ejω}}, {ω, 0.1, π},
  PlotLayout -> "Magnitude",
  PlotLegends -> {"Idealny", "Na poziomie zer i biegunów", "Na poziomie współczynników",
    "Na poziomie współczynników (osobno)"}, PlotLabel -> "Chebyshev 1 N=3"]
```



Jeśli trzeba można wyrysować wszystkie tym poleceniem.

#### Grid@

```
MapThread[BodePlot[{#1[ejω], #2 /. {z -> ejω}, #3 /. {z -> ejω}, #4 /. {z -> ejω}},
  {ω, 0.01, π}, PlotLayout -> "Magnitude"] &, {DGBmodels, DGBmodelsD, DGBmodelsDc, DGBmodelsDc2},
  2]
```

Out[440]= \$Aborted

Wybrana przeze mnie wcześniej procedura dyskretyzacji na poziomie zer i biegunów, pomimo swoich pozornych zalet obarczona jest jednak dodatkowym błędem, wynikającym z wymnożenia zdyskretyzowanych zer/biegunów którego należałoby by dokonać nie na liczbach rzeczywistych, lecz na liczbach n-bitowych.

Prawdopodobnie to dyskwalifikuje tę metodę.